

(218) 新X線マイクロアナライザーによる連鉄々片偏析部の介在物調査

新日本製鐵(株) 製鋼研究センター ○福田義盛, 溝口庄三, 梶岡博幸
本社中央研究企画部 有原和彦

1. 緒言：耐ラメ, 耐サワー材等を連鉄化するためには, 鉄片中心部に生じる点状偏析の程度を軽減することやMnS等の介在物を低減することが重要であり, これらを定量化する必要がある。前報¹⁾では偏析について述べた。今回は, 実鉄片でのCaS, MnS等の介在物を調査した結果について報告する。

2. 測定条件および解析方法

供試材は, 低炭Al-Siキルド鋼(C: 0.05~0.1%, Mn: 1~1.5%, P: 20~100 ppm, S: 5~20 ppm, Ca: 20~50 ppm)であり, Fig.1に示すような表層と中心部から採取した。測定視野は, 5×5mm²で, 新X線マイクロアナライザにてMn, Ca, Sを測定した。ここでSulphide介在物として認定したのは, 以下の条件を満たした部分である。また, CaO系介在物は, Caのみ偏析した部分とした。

$$\text{Ca} : X_{\text{ca}} + 5\sqrt{X_{\text{ca}}}$$

$$\text{S} : X_{\text{s}} + 5\sqrt{X_{\text{s}}}$$

$$\text{Mn} : \text{Mn}/\text{Mn}_0 \geq 2.25$$

$$X_{\text{ca}} : \text{Caの平均X線強度}$$

$$X_{\text{s}} : \text{Sの平均X線強度}$$

$$\text{Mn}_0 : \text{レールドMn}(\%)$$

3. 結果および考察

(1) Fig.2には, 鉄片中心部での各固相に占める介在物の割合を示す。ここで, 横軸は, Mnの等濃度帯の累積面積率であり, 0%は樹芯, 100%は, 樹間を示す。図より, CaO系介在物は, CaSに比べ凝固の早い時期に晶出していることが判る。一方, MnSは, 固相率95%以上の最終凝固部に晶出している。また表層部では, MnSはない。

(2) Fig.3は, Mnの点状偏析(Mn/Mn₀ ≥ 1.32)内の最高Mn濃度の粒径依存性を示す。図中には, As-cast材と拡散処理材の結果を同時に示した。また, 図中には, 松宮²⁾による点状偏析生成モデルによる計算結果も示した。図より, 250 μm以上の偏析径で2~5%におよぶ濃度域があり, Mnと同時にSも濃化していることからMnSの晶出していることが判る。また, 拡散処理によってもMnSは消滅していない。

(3) Fig.4は, MnSの晶出する臨界径に及ぼすレードル[S]の影響を示す。[S]の低下により, MnSの晶出する径が大きくなることが判る。

4. 結言

中心偏析部での介在物の分布について

調査した結果, MnSは凝固末期に発生し, かつ, Mn偏析サイズに依存することがわかった。例えば, Mn: 1%, S: 15 ppmでは, 250 μm以上の点状偏析部に発生する。

文献 1) 福田, 溝口, 松宮, 浜田, 宮崎, 佐々木: 鉄と鋼, 70(1984)S284 2) 松宮, 梶岡, 溝口, 上島, 江坂: 鉄と鋼, 83-A217

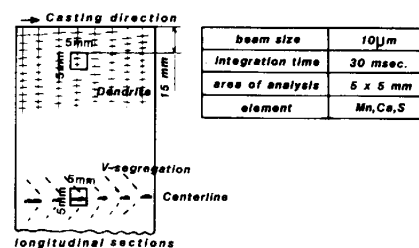


Fig.1. Sampling and measuring conditions

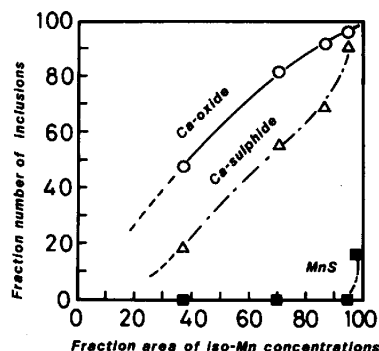


Fig.2. Relation of fraction area of iso-Mn concentration lines and fraction number of various inclusions

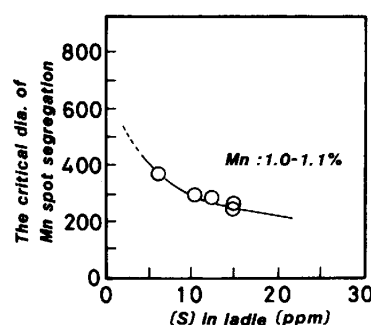


Fig.4. Relation of the critical dia. of Mn spot segregation and ladol S concentration.

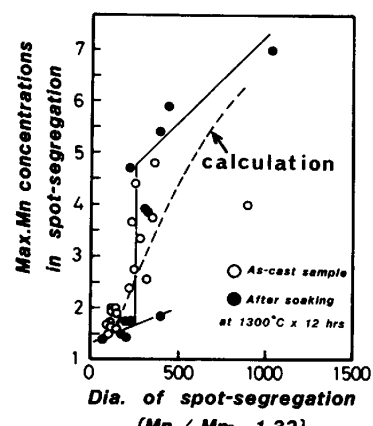


Fig.3. Relation between max. Mn concentration in spot segregation and its diameter.